

(199) 713C の  $\gamma$  と  $\gamma'$  の量比を変えて組合せた Ni 基鉄造合金

金属材料技術研究所

山崎道天 ○原田広史

小泉裕

1. 緒言 Ni 基鉄造合金は一般に  $\gamma'$  量が多いものほどクリープ強度が大きいことが知られているが、一方、 $\gamma'$  単相合金は著しく強度が低いと言われている。本研究では、 $\gamma$  と  $\gamma'$  の組成を一定にしてその量比のみ変化させる一連の合金を設計し、 $\gamma'$  量とクリープ強度の関係を調べた。 $\gamma$  と  $\gamma'$  の組成としては、Inco 713C からの分析値（表1 Krieger: Trans. ASM, 62(1969), 195より）を用いた。Co を含まない合金 Inco 713C を選んだのは、開発合金とヘリウムタービンに使用することを想定したためである。

2. 実験方法 合金設計は、まず、表1 に示した  $\gamma'$  中の各元素量 (at%) に  $\gamma'$  の目標モル分率をかけ、 $\gamma$  についても  $\gamma'$  の目標モル分率をかける。得られた値を各元素について加えると、 $\gamma$  と  $\gamma'$  が目標モル分率で存在するに必要な各元素量 (at%) が得られる。その他、C は半量が  $(Ti_{0.5}Nb_{0.5})C$ 、残りの半量が  $(Cr_{0.1}Mn_{0.1})C_6$  として、B は全量が  $(Mn_{0.5}Ti_{0.15}Cr_{0.25}Ni_{0.10})_3B_2$  としてそれぞれ合金中に存在すると仮定し、これら化合物を作るに必要な十分な量の元素とともに加え、Zrのみは単独で加えた。合金中の C, B, Zr 量は 713C と同 at% とした。上記の設計法により、 $\gamma'$  が 50, 62.5, 75, 87.5, 100 モル% の 5 合金（順に合金 17～21 と呼ぶ）を設計し、真空高周波溶解して 6 $\phi$  クリープ破断試験片 12 本ずつを予熱したロストワックス型に鋳込み、クリープ破断試験を行なった。

3. 実験結果 as cast 材の組織観察から（写真1）、晶出した  $\gamma'$  の量が合金 19 から 21 へ順に増加していることがわかる。析出した  $\gamma'$  を含めると全  $\gamma'$  量は合金 17 から 21 へと増加しており、合金 21 では全  $\gamma'$  量は約 98 vol% であった。クリープ破断試験の結果を図1に示す。市販の 713C 合金の組成は合金 17 と合金 18 の間にあり、したがって、市販の 713C 合金より  $\gamma'$  量のやや多いところでは強度が最大となることがあることがわかる。図2 は 1000°C, 12 kg/mm<sup>2</sup> でのクリープ曲線である。合金 17～19 はクリープ変形強さはほとんど差がない。合金 17 は割れに対する抵抗が小さい為にクリープ破断強度が低下したものと考えられる。合金 20, 21 ではクリープ変形強さの減少がクリープ破断強度を低下させている。他の温度、応力においても同じ傾向が見られた。なお、破断後組織の観察から、破断はすべて粒界割れによるものであることがわかった。

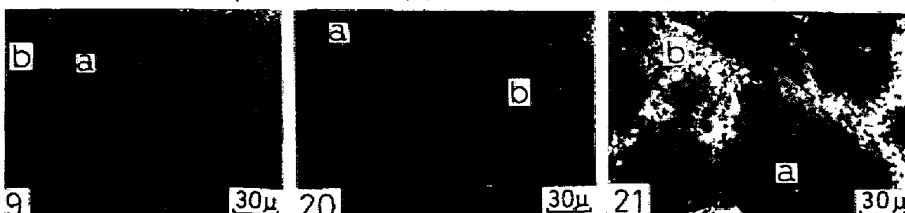


写真1 合金19(目標75% $\gamma'$ ), 20(同87.5%), 21(同100%)のas cast組織。a: 晶出した $\gamma'$ , b:  $\gamma$ で凝固して $\gamma'$ が析出した領域。

表1 713C 中の  $\gamma$ ,  $\gamma'$  の組成 (at%)

相	Ni	Cr	Al	Mo	Ti	Nb
$\gamma'$	73.01	3.47	19.20	1.49	1.33	1.49
$\gamma$	63.61	24.32	8.11	3.86	0.11	—

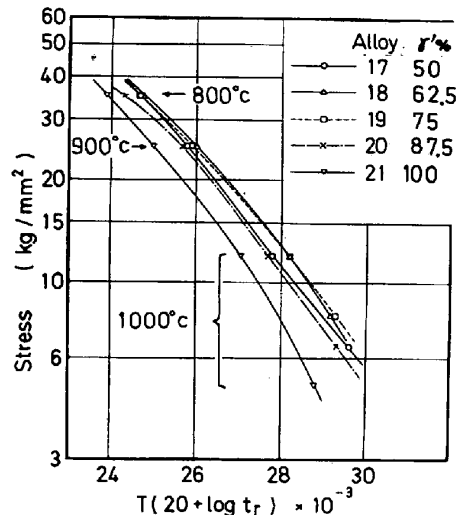


図1 クリープ破断試験結果  
(T: °K,  $t_r$ : 寿命 hr)

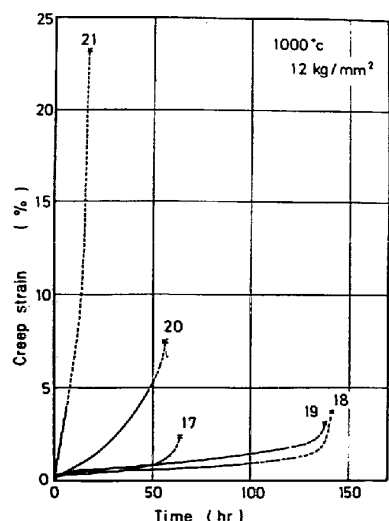


図2 合金17～21のクリープ曲線